

# Cours #5

## Opérateurs non-linéaires, morphologie mathématique

Nicolas Passat & Esther Fontaine



CHPS0703 Traitement d'images

# Certains opérateurs sont non-linéaires. . .

## Rappels

- Une image  $I$  peut être vue comme un vecteur  $\mathcal{V}_I$  dans un espace vectoriel  $\mathbb{R}^n$ .
- Certains opérateurs de traitement d'images sont interprétables comme des applications linéaires  $A : \mathbb{R}^n \rightarrow \mathbb{R}^k$  sur cet espace : ce sont des opérateurs linéaires.
  - Certains opérateurs sont convolutifs.
  - Certains opérateurs sont non-convolutifs.

## Opérateurs non-linéaires

Tous les opérateurs agissant sur  $I$  ne sont pas forcément linéaires. . .

→ Pourquoi ?

# Des exemples d'opérateurs non-linéaires

## Exemples d'opérateurs non-linéaires

- Modification d'intensité non-linéaire
  - égalisation d'histogramme
  - quantification
- (Pseudo-)convolutions dépendantes des valeurs
  - filtre bilatéral
  - moyennes non-locales
- (Pseudo-)convolutions non-linéaires
  - filtre de rang
  - filtre de choc

→ De manière générale, un opérateur est non-linéaire si son comportement élémentaire (sur chaque vecteur de la base) est dépendant du contenu de l'image et/ou issu d'un processus aléatoire.

# Morphologie mathématique

Un cadre pour les opérateurs non-linéaires : la morphologie mathématique

La morphologie mathématique (Matheron & Serra, 1964) propose un cadre théorique pour les opérateurs non-linéaires.

Deux paradigmes :

- cadre algébrique (treillis)
  - Erosions, dilatations
  - Ouvertures, fermetures
  - Opérateurs dérivés...
- cadre topologique (connectivité)
  - Ligne de partage des eaux
  - Modèles hiérarchiques
  - Opérateurs dérivés : opérateurs connexes

# Morphologie mathématique : cadre algébrique

## Treillis complet

Un treillis complet est un couple  $(X, \leq)$  tel que :

- $X$  est un ensemble
- $\leq$  est une relation d'ordre sur  $X$
- $\forall S \subseteq X$ ,  $S$  admet un supremum dans  $(X, \leq)$  noté  $\bigvee S$
- $\forall S \subseteq X$ ,  $S$  admet un infimum dans  $(X, \leq)$ , noté  $\bigwedge S$

## Des exemples de treillis complets

- $(X, \leq)$  tel que  $\leq$  est un ordre total
- $(2^\Omega, \subseteq)$  pour tout ensemble  $\Omega$  (**morphologie binaire**)
- $(F^E, \leq)$  où  $\leq$  est l'ordre point-à-point sur les fonctions induit par un ordre total  $(F, \leq)$  (**morphologie à niveaux de gris**)

# Morphologie mathématique : cadre algébrique

## Adjonction

Soit  $\mathcal{L}, \mathcal{M}$  deux treillis, et

$$\delta : \mathcal{L} \rightarrow \mathcal{M}$$

$$\varepsilon : \mathcal{M} \rightarrow \mathcal{L}$$

deux applications. Elles forment une **adjonction** si  $\forall x \in \mathcal{L}, \forall y \in \mathcal{M}$

$$\delta(x) \leqslant_{\mathcal{M}} y \iff x \leqslant_{\mathcal{L}} \varepsilon(y)$$

## Un exemple (trivial) d'adjonction

- $\mathcal{L} = (\mathbb{R}, \leq)$  et  $\mathcal{M} = (\mathbb{R}_+^*, \leq)$
- $\delta : x \mapsto \exp(x + 1)$
- $\varepsilon : y \mapsto \ln(y) - 1$

# Morphologie mathématique : cadre algébrique

## Érosion, dilatation

Soit  $\mathcal{L} = (X, \leqslant_X)$ ,  $\mathcal{M} = (Y, \leqslant_Y)$  deux treillis.

Soit  $(\varepsilon, \delta)$  une adjonction sur ces treillis.

- $\delta$  est appelée **dilatation** et commute avec le supremum, i.e.  $\forall S \subseteq X :$

$$\delta \left( \bigvee S \right) = \bigvee \delta(S)$$

- $\varepsilon$  est appelée **érosion** et commute avec l'infimum, i.e.  $\forall S \subseteq Y :$

$$\varepsilon \left( \bigwedge S \right) = \bigwedge \varepsilon(S)$$

## Remarque

Dans la pratique, on aura généralement  $\mathcal{L} = \mathcal{M}$ .

# Morphologie mathématique : cadre algébrique

## Ouverture, fermeture

A partir de l'érosion  $\varepsilon : \mathcal{M} \rightarrow \mathcal{L}$  et de la dilatation  $\delta : \mathcal{L} \rightarrow \mathcal{M}$ , on définit l'**ouverture**  $\gamma : \mathcal{M} \rightarrow \mathcal{M}$  et la **fermeture**  $\varphi : \mathcal{L} \rightarrow \mathcal{L}$  par

$$\gamma = \delta\varepsilon$$

$$\varphi = \varepsilon\delta$$

## Propriétés

- Stabilité :  $\gamma, \varphi$  agissent dans un unique treillis
- Idempotence :  $\gamma\gamma = \gamma, \varphi\varphi = \varphi$
- Croissance :  $x \leqslant y \implies \gamma(x) \leqslant \gamma(y), x \leqslant y \implies \varphi(x) \leqslant \varphi(y)$
- Extensivité, anti-extensivité
  - Extensivité :  $x \leqslant \varphi(x)$
  - Anti-extensivité :  $\gamma(x) \leqslant x$

# Morphologie mathématique : Morphologie binaire

## Premier cadre d'utilisation : morphologie binaire

- $\mathbb{U}$  est l'espace euclidien ou cartésien :  $\mathbb{U} = \mathbb{Z}^n$  ou  $\mathbb{R}^n$  ( $n \geq 1$ ).
- $X \subseteq \mathbb{U}$  est une image binaire (on note  $X^c = \mathbb{U} \setminus X$  l'image négative)
- On considère le treillis puissance  $(2^{\mathbb{U}}, \subseteq)$

## Notion de translation (propriété d'espace vectoriel de $\mathbb{U}$ )

- Pour  $x \in \mathbb{U}$  et  $p \in \mathbb{U}$ , la translation de  $x$  par  $p$  est

$$x + p$$

- Pour  $X \subseteq \mathbb{U}$  et  $p \in \mathbb{U}$ , la translation de  $X$  par  $p$  est

$$X_p = X + p = \{x + p \mid x \in X\}$$

N.B. :  $X_0 = X$

# Morphologie mathématique : Morphologie binaire

Dilatation binaire : addition de Minkowski

- $X \subseteq \mathbb{U}$  : image, objet
- $B \subseteq \mathbb{U}$  : élément structurant

Somme de Minkowski de  $X$  et  $B$  :

$$X \oplus B = \bigcup_{b \in B} X_b = \bigcup_{x \in X} B_x = \{x + b \mid x \in X, b \in B\}$$

La dilatation binaire (par  $B$ ) est  $\delta_B : 2^{\mathbb{U}} \rightarrow 2^{\mathbb{U}}$  telle que pour tout  $X \subseteq \mathbb{U}$  :

$$\delta_B(X) = X \oplus B$$

Remarque

La dilatation est similaire à un filtre de rang max sur la “fenêtre d’observation”  $B$ . (Attention : ce n’est pas une convolution !)

# Morphologie mathématique : Morphologie binaire

Érosion binaire : soustraction de Minkowski

- $X \subseteq \mathbb{U}$  : image, objet
- $B \subseteq \mathbb{U}$  : élément structurant

Soustraction de Minkowski de  $X$  par  $B$  :

$$X \ominus B = \bigcap_{b \in B} X_{-b} = \{p \in \mathbb{U} \mid B_p \subseteq X\}$$

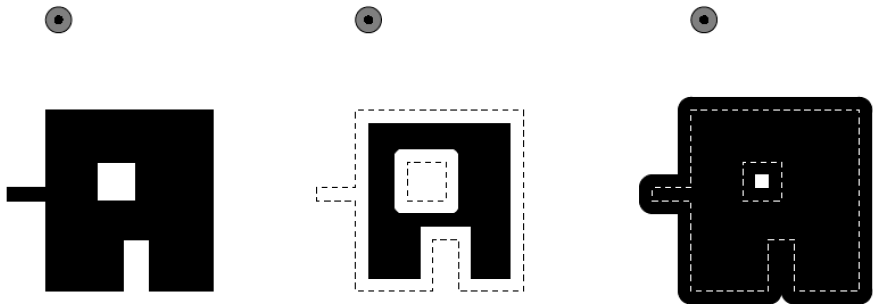
L'érosion binaire (par  $B$ ) est  $\varepsilon_B : 2^{\mathbb{U}} \rightarrow 2^{\mathbb{U}}$  telle que pour tout  $X \subseteq \mathbb{U}$  :

$$\delta_B(X) = X \ominus B$$

Remarque

La dilatation est similaire à un filtre de rang min sur la “fenêtre d’observation”  $B$ . (Attention : ce n'est pas une convolution !)

# Morphologie mathématique : Morphologie binaire



# Morphologie mathématique : Morphologie binaire

## Erosions / dilatations binaires : quelques propriétés

- $\{x\} \oplus \{p\} = \{x + p\}$
- $X \oplus \{p\} = X_p$
- $(X \oplus B)_p = X_p \oplus B = X \oplus B_p$
- $A \oplus B = B \oplus A$
- $X \oplus (A \oplus B) = (X \oplus A) \oplus B$
- $\{x\} \ominus \{p\} = \{x - p\}$
- $X \ominus \{p\} = X_{-p}$
- $(X \ominus B)_p = X_p \ominus B = X \ominus B_{-p}$
- ...
- $X \ominus (A \oplus B) = (X \ominus A) \ominus B$

## Erosions / dilatations binaires : quelques propriétés ( $X \subseteq Y$ et $A \subseteq B$ )

- $(X \oplus A) \subseteq (Y \oplus A)$
- $(X \oplus A) \subseteq (X \oplus B)$
- $(X \ominus A) \subseteq (Y \ominus A)$
- $(X \ominus A) \supseteq (X \ominus B)$

$$(X \ominus B) \subseteq X \subseteq (X \oplus B) \quad \text{si } 0 \in B$$

# Morphologie mathématique : Morphologie binaire

## Symétrique

Le symétrique de  $B \subseteq \mathbb{U}$  est  $\check{B} = \{-b \mid b \in B\}$ .

- $\check{\check{B}} = B$
- $(\check{B}_p) = (\check{B})_{-p}$

## Erosions / dilatations binaires : quelques propriétés

- |   |   |
|---|---|
| <ul style="list-style-type: none"><li>• <math>(X \oplus B)^c = X^c \ominus \check{B}</math></li><li>• <math>(X^c \oplus B)^c = X \ominus \check{B}</math></li></ul> | <ul style="list-style-type: none"><li>• <math>(X \ominus B)^c = X^c \oplus \check{B}</math></li><li>• <math>(X^c \ominus B)^c = X \oplus \check{B}</math></li></ul> |
|---|---|

# Morphologie mathématique : Morphologie binaire

## Erosions / dilatations binaires : quelques propriétés

$$(X \oplus B \subseteq Y) \Leftrightarrow (X \subseteq Y \ominus B)$$

- $(\bigcup_i X_i) \oplus B = \bigcup_i (X_i \oplus B)$
- $X \oplus (\bigcup_i B_i) = \bigcup_i (X \oplus B_i)$
- $(\bigcap_i X_i) \ominus B = (\bigcap_i X_i \ominus B)$
- $X \ominus (\bigcap_i B_i) = \bigcap_i (X \ominus B_i)$

# Morphologie mathématique : Morphologie binaire

Des opérateurs fabriqués à base de dilatations et érosions

- Gradients morphologiques
- Transformées en tout ou rien
- Dilatations / érosions géodésiques
- ...

# Morphologie mathématique : Morphologie binaire

## Gradient morphologique

Soit  $B \subseteq \mathbb{U}$  un élément structurant tel que  $0 \in B$ .

On peut définir plusieurs **gradients morphologiques**, qui mettent en évidence les bords dans une image  $X \subseteq \mathbb{U}$  :

$$\nabla_B^+(X) = (X \oplus B) \setminus X$$

$$\nabla_B^-(X) = X \setminus (X \ominus B)$$

$$\nabla_B(X) = (X \oplus B) \setminus (X \ominus B)$$

## Remarque

Le choix de  $B$  influe sur la nature de l'information de gradient obtenue !

# Morphologie mathématique : Morphologie binaire

## Transformée en tout ou rien

Soit  $A, B \subseteq \mathbb{U}$  deux éléments structurants tels que  $A \cap B = \emptyset$ .

La **transformée en tout ou rien** recherche les points  $x$  tels :

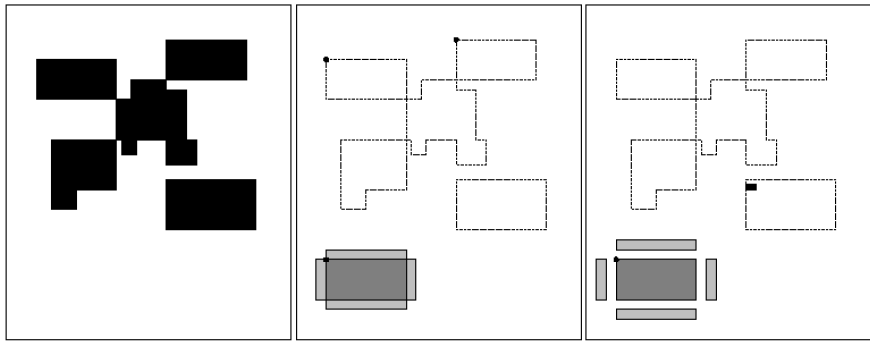
- $A$  centré sur  $x$  est complètement dans  $X$
- $B$  centré sur  $x$  est complètement hors de  $X$

(analogie morphologique du pattern matching)

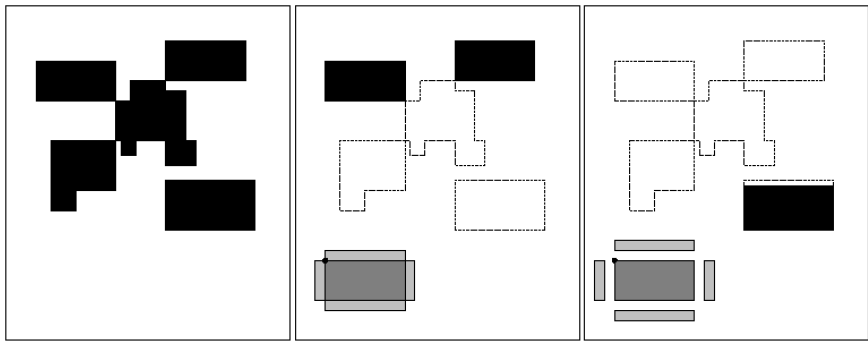
$$\begin{aligned} X \circledast (A, B) &= \{p \in \mathbb{U} \mid A_p \subseteq X \wedge B_p \subseteq X^c\} \\ &= (X \ominus A) \cap (X^c \ominus B) \\ &= (X \ominus A) \setminus (X \oplus \check{B}) \end{aligned}$$

Ouverture en tout ou rien :  $(X \circledast (A, B)) \oplus A$

# Morphologie mathématique : Morphologie binaire



# Morphologie mathématique : Morphologie binaire



# Morphologie mathématique : Morphologie binaire

## Dilatation / érosion géodésique

On constraint la dilatation (resp. l'érosion) par un masque.

Soit une image  $X \subseteq \mathbb{U}$ , un élément structurant  $B \subseteq \mathbb{U}$  tel que  $0 \in B$  et un masque  $M \subseteq \mathbb{U}$ .

- $X \subseteq M$
- $\delta_B^M(X) = \delta_B(X) \cap M$
- $\delta_B^M(X, 0) = X$
- $\delta_B^M(X, k) = \delta_B^M(\delta_B^M(X, k - 1))$
- $M \subseteq X$
- $\varepsilon_B^M(X) = \varepsilon_B(X) \cup M$
- $\varepsilon_B^M(X, 0) = X$
- $\varepsilon_B^M(X, k) = \varepsilon_B^M(\varepsilon_B^M(X, k - 1))$

Dilatation géodésique :

$$\lim_k \delta_B^M(X, k)$$

Érosion géodésique :

$$\lim_k \varepsilon_B^M(X, k)$$

# Morphologie mathématique : Morphologie binaire

## Fermeture et ouverture : rappel de la définition algébrique

- Fermeture:  $\varphi = \varepsilon\delta$
- Ouverture:  $\gamma = \delta\varepsilon$

## Fermeture et ouverture en morphologie binaire

- $\varphi_B(X) = \varepsilon_B\delta_B(X) = (X \oplus B) \ominus B = X \bullet B$
- $\gamma_B(X) = \delta_B\varepsilon_B(X) = (X \ominus B) \oplus B = X \circ B$

## Sémantique de l'ouverture

$$\gamma_B(X) = \bigcup\{B_p \mid p \in \mathbb{U} \wedge B_p \subseteq X\}$$

# Morphologie mathématique : Morphologie binaire

## Ouvertures / fermetures binaires : quelques propriétés

- $(X \circ B)_p = X_p \circ B$
- $(X \circ B_p) = X \circ B$
- $(X \circ B)^c = X^c \bullet \check{B}$
- $(X^c \circ B)^c = X \bullet \check{B}$
- $(X \circ B) \circ B = X \circ B$
- $X \supseteq (X \circ B)$
- $(X \bullet B)_p = X_p \bullet B$
- $(X \bullet B_p) = X \bullet B$
- $(X \bullet B)^c = X^c \circ \check{B}$
- $(X^c \bullet B)^c = X \circ \check{B}$
- $(X \bullet B) \bullet B = X \bullet B$
- $X \subseteq (X \bullet B)$

$$(X \ominus B) \subseteq (X \circ B) \subseteq X \subseteq (X \bullet B) \subseteq (X \oplus B) \quad \text{si } 0 \in B$$

## Ouvertures / fermetures binaires : quelques propriétés ( $X \subseteq Y$ )

- $(X \circ B) \subseteq (Y \circ B)$
- $(X \bullet B) \subseteq (Y \bullet B)$

# Morphologie mathématique : Morphologie binaire

Des opérateurs fabriqués à base de fermeture et ouvertures

- Transformées en chapeau haut de forme (“top hat”)
- Filtres alternés séquentiels
- ...

# Morphologie mathématique : Morphologie binaire

Transformées en chapeau haut de forme (“top hat”)

Soit  $B \subseteq \mathbb{U}$  un élément structurant.

On peut définir la transformée en chapeau haut de forme, qui met en évidence les bords dans une image  $X \subseteq \mathbb{U}$  :

$$BTH_B(X) = (X \bullet B) \setminus X$$

$$WTH_B(X) = X \setminus (X \circ B)$$

## Remarques

- Analogie du gradient morphologique pour les ouvertures / fermetures
- Le choix de  $B$  influe sur la nature de l'information de gradient obtenue !
- Pas de nécessité d'avoir  $0 \in B$

# Morphologie mathématique : Morphologie binaire

Séries (dé)croissantes d'ouvertures et fermetures

Soit  $B \subseteq \mathbb{U}$  un élément structurant. Pour tout  $i \geq 0$ , on définit  $B_i = \bigoplus_{k=1}^i B$  et les ouvertures et fermetures associées

$$\gamma_i = \delta_{B_i} \varepsilon_{B_i} \quad \varphi_i = \varepsilon_{B_i} \delta_{B_i}$$

Pour tout  $i \leq j$  on a

$$\gamma_j(X) \subseteq \gamma_i(X) \subseteq X \subseteq \varphi_i(X) \subseteq \varphi_j(X)$$

## Filtres alternés séquentiels

- $m_i = \gamma_i \varphi_i$
- $n_i = \varphi_i \gamma_i$
- $r_i = \varphi_i \gamma_i \varphi_i$
- $s_i = \gamma_i \varphi_i \gamma_i$
- $M_i = m_i m_{i-1} \dots m_2 m_1$
- $N_i = n_i n_{i-1} \dots n_2 n_1$
- $R_i = r_i r_{i-1} \dots r_2 r_1$
- $S_i = s_i s_{i-1} \dots s_2 s_1$

# Morphologie mathématique à niveaux de gris (plate)

## Second cadre d'utilisation : morphologie à niveaux de gris (plate)

- $\mathbb{U}$  est l'espace euclidien ou cartésien :  $\mathbb{U} = \mathbb{Z}^n$  ou  $\mathbb{R}^n$  ( $n \geq 1$ ).
- $\mathbb{V}$  est la droite étendue :  $\mathbb{V} = \mathbb{Z} \cup \{-\infty, +\infty\}$  ou  $\mathbb{R} \cup \{-\infty, +\infty\}$ .
- $\mathcal{F} : \mathbb{U} \rightarrow \mathbb{V}$  est une **image à niveaux de gris**
- L'ensemble des images est l'espace des fonctions  $\mathbb{V}^{\mathbb{U}}$ .
- On définit la relation d'ordre  $\leqslant$  sur  $\mathbb{V}^{\mathbb{U}}$  par :

$$\mathcal{F} \leqslant \mathcal{G} \iff \forall x \in \mathbb{U}, \mathcal{F}(x) \leq \mathcal{G}(x)$$

## Remarque

- La relation d'ordre  $\leq$  est totale sur  $\mathbb{V}$
- mais la relation d'ordre  $\leqslant$  est partielle sur  $\mathbb{V}^{\mathbb{U}}$ .

# Morphologie mathématique à niveaux de gris (plate)

## Supremum, infimum, treillis

La relation d'ordre  $\leq$  est un treillis : elle admet un supremum et un infimum.

Soit  $\{\mathcal{F}_i\}_i$  un ensemble de fonctions dans  $\mathbb{V}^U$ .

Pour tout  $x \in U$ , on a :

- $(\bigvee_i^{\leq} \mathcal{F}_i)(x) = \bigvee_i^{\leq} (f_i(x))$
- $(\bigwedge_i^{\leq} \mathcal{F}_i)(x) = \bigwedge_i^{\leq} (f_i(x))$

## Treillis $\rightarrow$ adjonction

- Tout comme  $(2^U, \subseteq)$  le couple  $(\mathbb{V}^U, \leq)$  est un treillis.
- On va donc définir une adjonction sur  $(\mathbb{V}^U, \leq)$ .
- Cette adjonction fournira des opérations d'érosion et de dilatation.

# Morphologie mathématique à niveaux de gris (plate)

## Érosions et dilatations plates

Soit  $\mathcal{F} : \mathbb{U} \rightarrow \mathbb{V}$  une image à niveaux de gris.

Soit  $B \subseteq \mathbb{U}$  un élément structurant.

- Dilatation (plate) :

$$(\mathcal{F} \oplus B)(x) = \bigvee_{b \in B} \mathcal{F}(x - b) = \bigvee_{p \in (\check{B})_x} \mathcal{F}(p)$$

- Érosion (plate) :

$$(\mathcal{F} \ominus B)(x) = \bigwedge_{b \in B} \mathcal{F}(x + b) = \bigwedge_{p \in B_x} \mathcal{F}(p)$$

# Morphologie mathématique à niveaux de gris (plate)

## Seuillage

Soit  $\mathcal{F} : \mathbb{U} \rightarrow \mathbb{V}$  une image à niveaux de gris. Soit  $t \in \mathbb{V}$  une valeur (de seuillage). Le **seuillage** de  $\mathcal{F}$  à la valeur  $t$  est l'image binaire

$$X_t(\mathcal{F}) = \{p \in \mathbb{U} \mid \mathcal{F}(x) \geq t\} \subseteq \mathbb{U}$$

On a notamment

- $u \leq v \implies X_v(\mathcal{F}) \subseteq X_u(\mathcal{F})$
- $\mathcal{F} \leq \mathcal{G} \implies X_t(\mathcal{F}) \subseteq X_t(\mathcal{G})$

## Décomposition plate d'une image à niveaux de gris

$$\mathcal{F}(p) = \bigvee^{\leq} \{t \in \mathbb{V} \mid p \in X_t(\mathcal{F})\}$$

En d'autres termes, une image à niveaux de gris peut se modéliser par un empilement des images binaires obtenues par seuillages successifs.

# Morphologie mathématique à niveaux de gris (plate)

## Liens entre morphologies plate et à niveaux de gris

$$(\mathcal{F} \oplus B)(x) = \bigvee \{t \in \mathbb{V} \mid x \in X_t(\mathcal{F}) \oplus B\}$$

$$(\mathcal{F} \ominus B)(x) = \bigwedge \{t \in \mathbb{V} \mid x \in X_t(\mathcal{F}) \ominus B\}$$

où on a les opérateurs **binaires** et à **niveaux de gris**

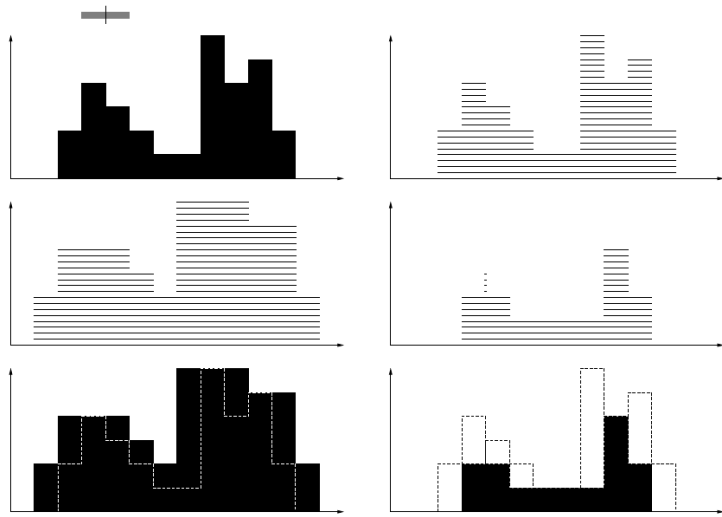
## Moralité

On peut dériver de la morphologie binaire :

- les propriétés induites
- les opérateurs dérivés

pour la morphologie à niveaux de gris.

# Morphologie mathématique à niveaux de gris (plate)



# D'autres paradigmes de morphologie mathématique

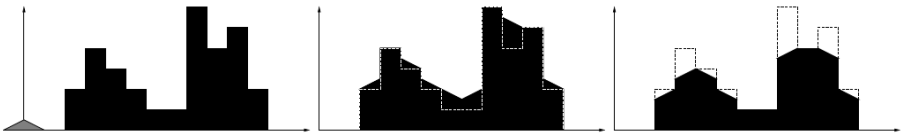
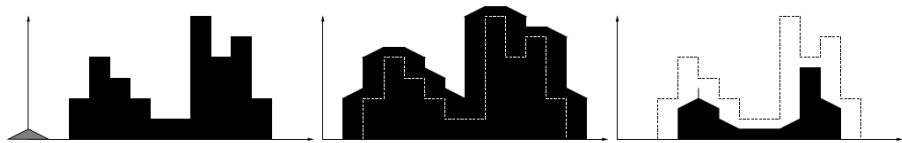
## Autres paradigmes de morphologie mathématique

- MM à niveaux de gris “non plate” :  $B : \mathbb{U} \rightarrow \mathbb{V}$
- MM sur les graphes
- MM sur les complexes / maillages
- MM multivaluée : non trivial (treillis ?)
- etc.

Il “suffit” :

- de disposer d'un treillis
- de définir une paire (érosion,dilatation) formant une adjonction

# Morphologie mathématique à niveaux de gris (plate)



# Morphologie mathématique : cadre topologique

## Connectivité

Le paradigme de **connectivité** consiste à déterminer comment le support d'une image se décompose (pour tout ou partie) en régions.

- Graphes
- Partitions
- Très souvent, la connexité (même si des notions alternatives de connectivité peuvent être proposées)
- Arbres

## Cadre choisi (dans la grande majorité des cas)

- Le support  $\Omega$  d'une image est structuré comme un graphe.
- Les points de  $\Omega$  ("pixels") sont les sommets du graphe.
- Les liens d'adjacence d'une relation  $A$  (irréflexive, symétrique) sur  $\Omega$  sont considérés comme les arêtes du graphe.

# Morphologie mathématique : cadre topologique

## Paradigme de la connectivité

- Une image  $I : \Omega \rightarrow \mathbb{V}$  est vue comme un graphe valué.
  - La valuation est naturellement sur les sommets.
  - On peut aussi valuer les arêtes !
- On cherche à définir une **représentation** ou un **modèle** de  $I$ , souvent sous la forme d'un arbre de partitions de  $\Omega$ .
- On construit des **opérateurs connexes** qui agissent sur cet arbre pour traiter ou analyser l'image  $I$ .

## Opérateur connexe

Un opérateur connexe est un opérateur de traitement d'images :

- non-linéaire
- qui traite l'image à une échelle "région" et non pas "pixel"
- qui a la propriété de ne pas altérer les contours de l'image

# Morphologie mathématique : cadre topologique

## Des représentations (hiérarchiques) d'images

- Component-tree
- Tree of shapes
- Binary partition tree
- $\alpha$ -tree
- Watershed tree
- ...

## Des structures (hiérarchiques) d'images

Toutes ces représentations :

- sont des modèles hiérarchiques, i.e. des arbres
- modélisent des partitions (totales ou partielles)

Certaines sont des modèles, d'autres non.

# Morphologie mathématique : cadre topologique

## Partition

Soit  $\Omega \neq \emptyset$  un ensemble. Une partition de  $\Omega$  est un ensemble  $P$  d'ensembles de  $\Omega$ , i.e.  $P \subset 2^\Omega$  tel que :

- $P \neq \emptyset$
- $\forall X, Y \in P, X \neq Y \Rightarrow X \cap Y = \emptyset$
- $\bigcup P = \Omega$

$P$  est associée à une relation d'équivalence  $\sim$  sur  $\Omega$  ( $P = \Omega / \sim$ ).

## Partition partielle (ou partition générale)

- $P \neq \emptyset$
- $\forall X, Y \in P, X \neq Y \Rightarrow X \cap Y = \emptyset$
- $\bigcup P \subseteq \Omega$

Une partition est une partition générale.

Une partition générale est une partition d'un sous-ensemble de  $\Omega$ .

# Morphologie mathématique : cadre topologique

## Raffinement de partitions (partielles)

Soit  $P_1, P_2$  deux partitions (partielles) de  $\Omega$ .

On dit que  $P_2$  raffine  $P_1$ , et on note  $P_2 \Subset P_1$  si

$$\forall X_2 \in P_2, \exists X_1 \in P_1, X_2 \subseteq X_1$$

Remarque :  $P_1$  est nécessairement unique.

## Relation de raffinement

On note  $\Pi$  l'ensemble des partitions (partielles). On note  $\bar{\Pi} = \Pi \cup \{\emptyset\}$ .

- Le raffinement  $\Subset$  est une relation d'ordre partielle sur  $\Pi$  et  $\bar{\Pi}$ .
- $(\Pi, \Subset)$  admet un supremum.
- $(\bar{\Pi}, \Subset)$  admet un infimum.

En d'autres termes,  $(\Pi, \Subset)$  est "presque" un treillis.

# Morphologie mathématique : cadre topologique

## Hiérarchie de partitions (partielles)

Soit  $\mathcal{P} = \{P_i\}_{i=0}^t$  un ensemble de partitions (partielles) de  $\Omega$  tel que :

- $P_0 = \{\Omega\}$
- $i \leq j \implies P_j \Subset P_i$

$(\mathcal{P}, \Subset)$  est un ensemble de partitions (partielles) totalement ordonné.

## Arbre de partitions

On note  $\Theta = \bigcup_{i=1}^t P_i$ . La relation d'inclusion  $\subseteq$  sur  $\Theta$  est une relation d'ordre partielle **hiérarchique** :

- elle admet un maximum :  $\Omega$
- pour tout  $X \in \Theta$  l'ensemble  $X^\uparrow = \{Y \in \Theta \mid X \subseteq Y\}$  est totalement ordonné par  $\subseteq$

Le diagramme de Hasse de  $(\Theta, \subseteq)$  est un arbre.

# Morphologie mathématique : cadre topologique

## Coupe dans un arbre de partitions

Soit  $\mathfrak{T} = (\Theta, \subseteq)$  un arbre de partitions (partielles).

- Une **coupe** de  $\mathfrak{T}$  est un sous-ensemble non-vide de  $C \subseteq \Theta$  tel que tous les éléments de  $C$  sont non-comparables par  $\subseteq$ .
- Toute partition (partielle)  $P$  est une coupe de  $\mathfrak{T}$ .
- **Toute coupe de  $\mathfrak{T}$  est une partition partielle.**

Arbre de partitions : espace riche de partitions (partielles) de  $\Omega$ .

## Construction d'un opérateur connexe

Etant donnée une image  $I : \Omega \rightarrow \mathbb{V}$  :

- Construire un arbre  $\mathfrak{T}$  induit par une hiérarchie de partitions  $\mathcal{P}$ .
- Définir une coupe  $C \subseteq \Theta$  dans  $\mathfrak{T}$
- Produire, dans l'espace image, le résultat de l'opérateur induit par cette coupe.

# Morphologie mathématique : cadre topologique

## Arbres de partitions : représentation vs. modèles

- Certains arbres sont des modèles : component-trees, trees of shapes
- D'autres sont des représentations : binary partition trees, watershed trees

Les **modèles** sont des arbres qui encodent l'image sans perte d'information, de manière réversible.

## Analogie (changement d'espace)

- Fabriquer l'arbre  $\mathfrak{T}$  d'une image  $I$
- Transformer  $\mathfrak{T}$  en un arbre  $\widehat{\mathfrak{T}}$
- Reconstruire une image  $\widehat{I}$  à partir de  $\widehat{\mathfrak{T}}$
- Calculer la transformée de Fourier  $\mathfrak{F}$  de  $I$
- Transformer  $\mathfrak{F}$  en  $\widehat{\mathfrak{F}}$
- Reconstruire  $\widehat{I}$  par transformée de Fourier inverse sur  $\widehat{\mathfrak{F}}$

# Morphologie mathématique : cadre topologique

Exemple de modèle : component-tree

- Image  $I : \Omega \rightarrow \mathbb{R}$
- Seuillages successifs  $\Lambda_v(I) \subseteq \Omega$
- Partitions (partielles)  $P_v = \mathcal{C}[\Lambda_v(I)]$  : composantes connexes de  $\Lambda_v(I)$
- Nœuds de l'arbre :  $\Theta = \bigcup_v \mathcal{C}[\Lambda_v(I)] \subseteq 2^\Omega$

Le component-tree est le diagramme de Hasse  $\mathfrak{T}$  de  $(\Theta, \subseteq)$ .

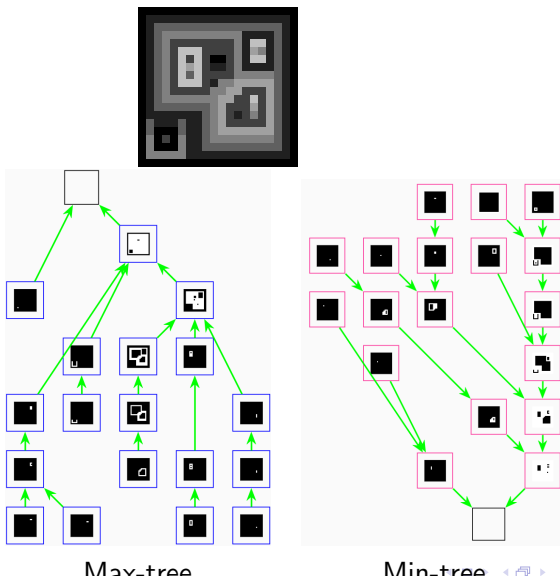
(Dé)composition de l'image par rapport au component-tree

$$I = \bigvee_{X \in \Theta} \mathbf{1}_{(X, \rho(X))}^{\leqslant}$$

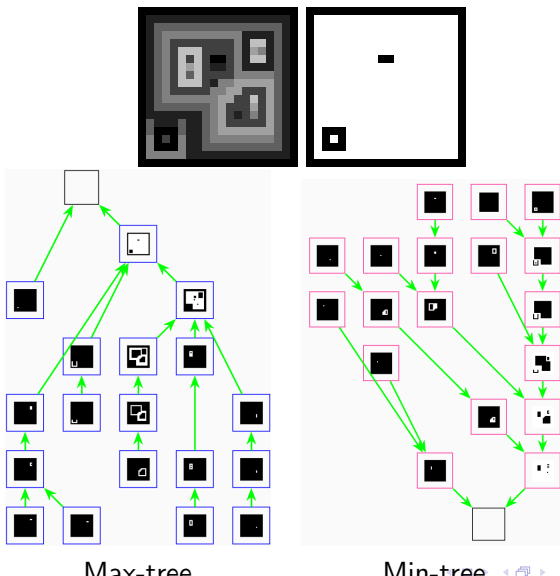
où

- $\mathbf{1}_{(A, v)}(x) = v$  si  $x \in A$  et  $-\infty$  sinon
- $\rho(X) = \arg_{v \in \mathbb{R}} \max\{X \in P_v\}$

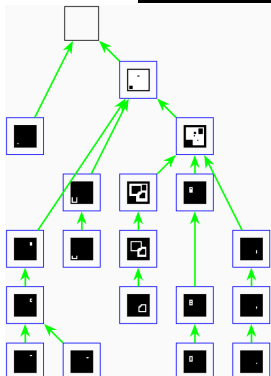
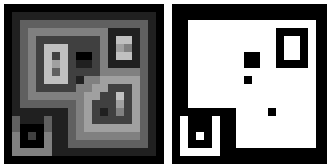
# Morphologie mathématique : cadre topologique



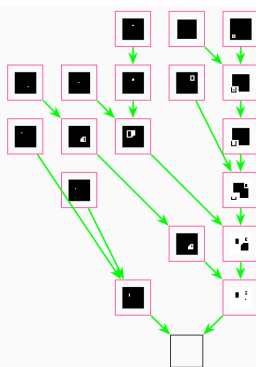
# Morphologie mathématique : cadre topologique



# Morphologie mathématique : cadre topologique

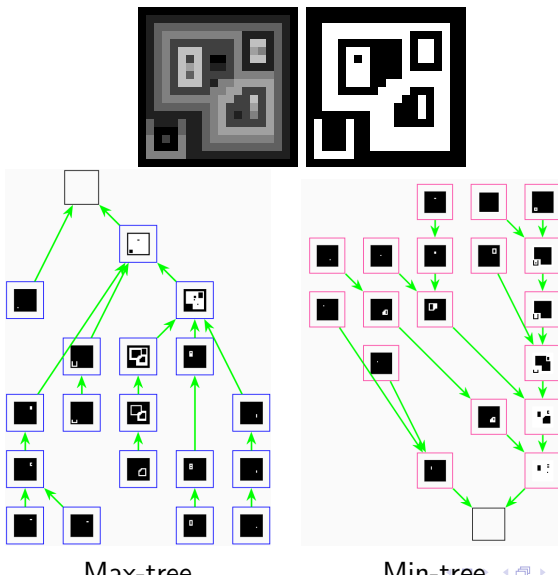


Max-tree

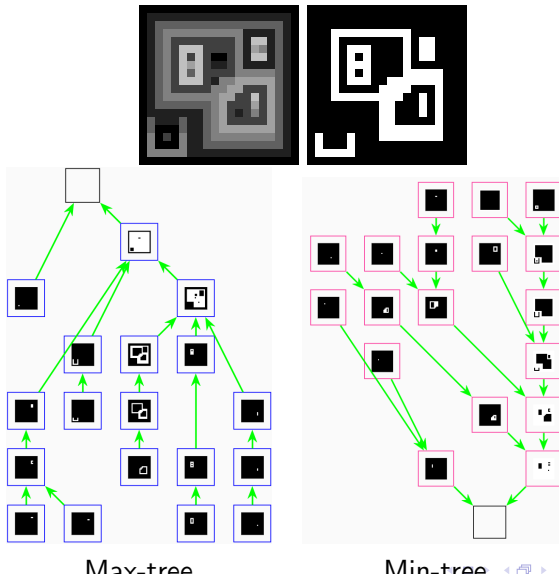


Min-tree

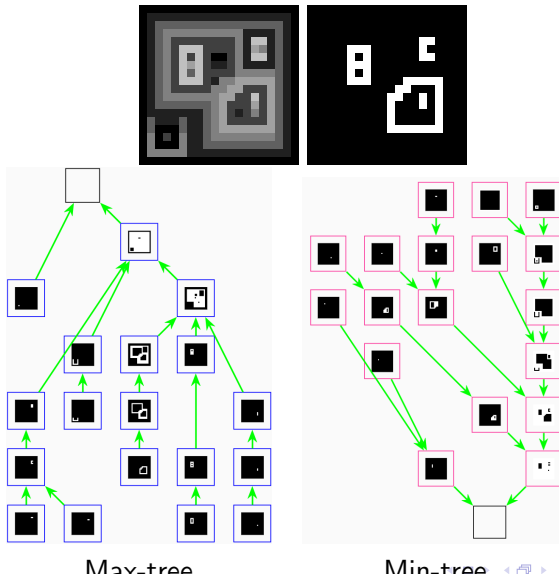
# Morphologie mathématique : cadre topologique



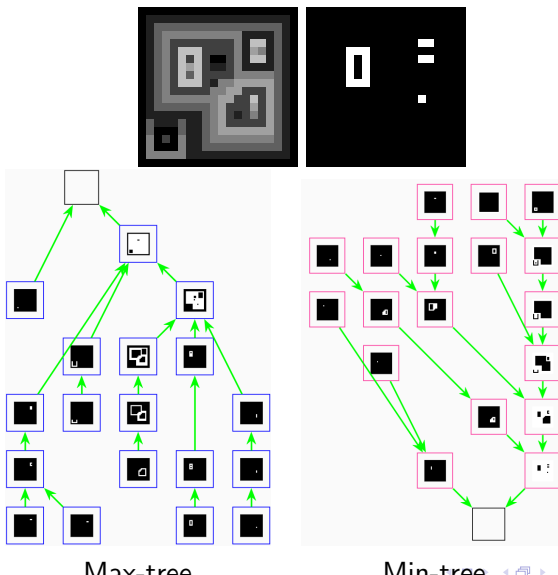
# Morphologie mathématique : cadre topologique



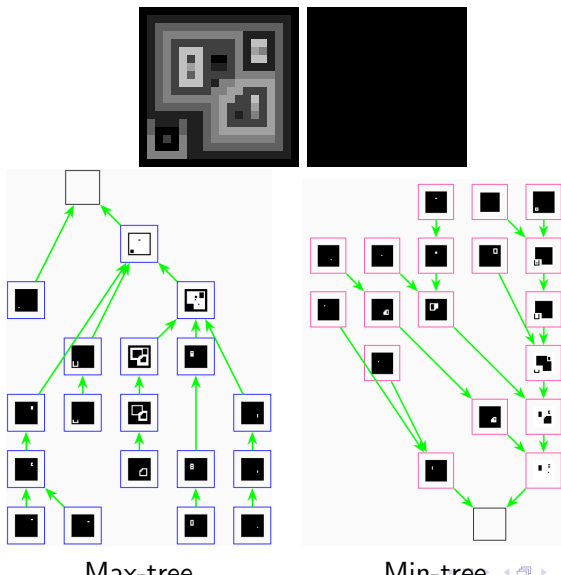
# Morphologie mathématique : cadre topologique



# Morphologie mathématique : cadre topologique



# Morphologie mathématique : cadre topologique



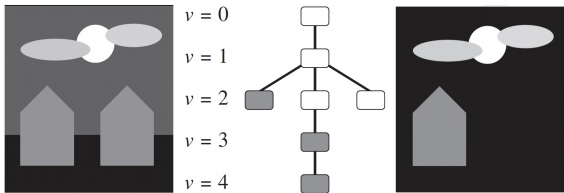
# Morphologie mathématique : cadre topologique

## Component-tree : opérateurs connexes

Formule de décomposition valide pour tout  $\widehat{\Theta} \subseteq \Theta$

$$\widehat{I} = \bigvee_{X \in \widehat{\Theta}}^{\leqslant} \mathbf{1}_{(X, \rho(X))}$$

- Filtrage anti-extensif
- Segmentation : remplacer  $\rho(X)$  par 1



# Morphologie mathématique : cadre topologique

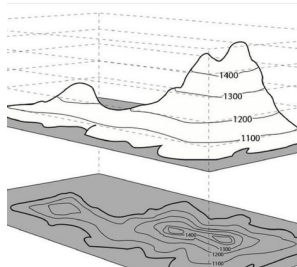
## Variante de component-tree : tree of shapes

Le tree of shapes :

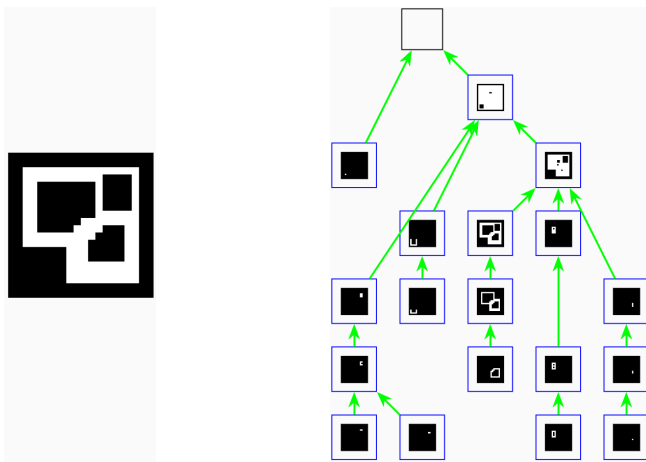
- considère l'image comme une carte topographique
- modélise les régions bornées par une isohypse

Ses nœuds sont obtenus comme des classes d'équivalence de nœuds de component-trees.

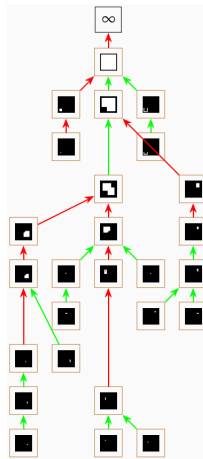
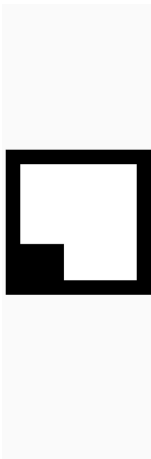
- Théorème de Jordan !



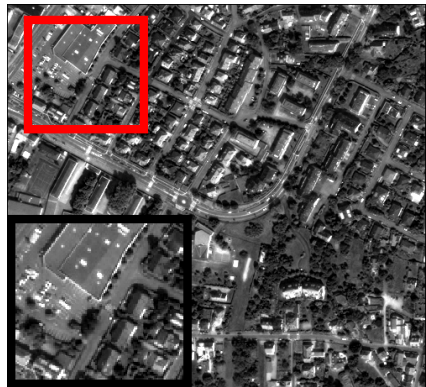
# Morphologie mathématique : cadre topologique



# Morphologie mathématique : cadre topologique



# Morphologie mathématique : cadre topologique



# Morphologie mathématique : cadre topologique

